

## НАБЛЮДЕНИЕ АНОМАЛЬНЫХ ОПТИКОМАГНИТНЫХ РЕЗОНАСОВ ДВУЛУЧПРЕЛОМЛЕНИЯ И ДИХРОИЗМА НА ПЕРЕХОДЕ $3s_2 - 2p_4$ НЕОНА

Э.Г.Сапрыкин, С.Н.Селезнев, В.А.Сорокин

Сообщается о наблюдении оптико-магнитных резонансов с ширинами существенно меньшими, чем времена жизни на резонансных излучению уровнях. Обнаружено аномальное поведение резонансов при перестройке частоты зондирующего излучения.

Глнее<sup>1)</sup>, при изучении влияния магнитного поля на поглощение слабой лазерной волны ( $\lambda = 0,63$  мкм) в разряде неона были обнаружены узкие оптикомагнитные резонансы (OMP), форма которых практически не зависела от поляризации волны. Данные OMP обусловлены изменением интегральной заселенности уровня  $2p_4$  вследствие разрушения магнитным полем выстраивания атомов на уровне  $1s_4$  и отвечают характеристикам последнего<sup>2) 1)</sup>. Авторы<sup>5</sup>, измеряя разность поглощения волн ортогональных поляризаций как функцию магнитного поля, направленного по электрическому вектору одной из них, устранили заселеностные эффекты и обнаружили OMP обусловленные переизлучением света и анизотропными столкновениями непосредственно на переходе  $3s_2 - 2p_4$ . Их ширины определялись константами уровня  $2p_4$ .

Ниже сообщается о наблюдении на данном переходе радикально иных OMP. Методика подобна описанной в<sup>5</sup>, но кроме OMP в поглощении регистрировались также OMP в разности показателей преломления среды для ортогональных линейно поляризованных компонент излучения. В этом случае поперечное магнитное поле направлялось под углом  $45^\circ$  к векторам поляризации компонент.

На рис. 1 даны характеристики OMP двулучпреломления а) и дихроизма б). Кривые  $1a - 5a, 4b$  получены в неоне-20. Кривые  $1b - 3b$  соответствуют красному крылу линии поглощения, т. к. зарегистрированы в неоне-22, линия 0,63 мкм которого смешена на 800 МГц относительно неона-20. Форма OMP хорошо описывается производной от суммы двух лорентзианов с ширинами, отличающимися в 5 – 6 раз. Широкая компонента подобна полученной в<sup>5</sup>. Зависимость полуширины узкой компоненты в двулучпреломлении<sup>2)</sup> от давления газа при токе разряда 50 мА имеет следующий вид:

$$H = (0,48 \pm 0,04) \mathcal{E} + (0,25 \pm 0,03) \times P \text{ (Top) } \mathcal{E}. \quad (1)$$

Полуширина резонансов, связанных с уровнем  $1s_4$ <sup>2)</sup>,

$$H(1s_4) = (4,6 \pm 0,2) \mathcal{E} + (0,6 \pm 0,1) \times P \text{ (Top) } \mathcal{E} \quad (2)$$

и полуширина, отвечающая скорости релаксации гексадекапольного момента уровня  $2p_4$  в шкале магнитного поля<sup>6</sup>,

$$H(2p_4) = (2,3 \pm 0,05) \mathcal{E} + (0,83 \pm 0,22) P \text{ (Top) } \mathcal{E} \quad (3)$$

резко отличаются от (1). Таким образом наблюдаемая ширина узкого резонанса не может быть объяснена известными релаксационными процессами на уровнях  $2p_4$  и  $1s_4$ .

<sup>1)</sup> Впервые эффект изменения заселенности уровня вследствие разрушения магнитным полем выстраивания на уровнях, оптически связанных с исследуемым, был наблюден во флуоресценции<sup>3, 4</sup>.

<sup>2)</sup> Ширины OMP дихроизма и двулучпреломления согласуются друг с другом в пределах ошибок измерений. При измерении ширин OMP учтены искажения формы резонансов модуляцией магнитного поля.

Зависимость амплитуд компонент ОМР от расстройки частоты лазерного излучения, приводимая на рис. 2, также демонстрирует аномальное для дипольных переходов поведение узкой компоненты.

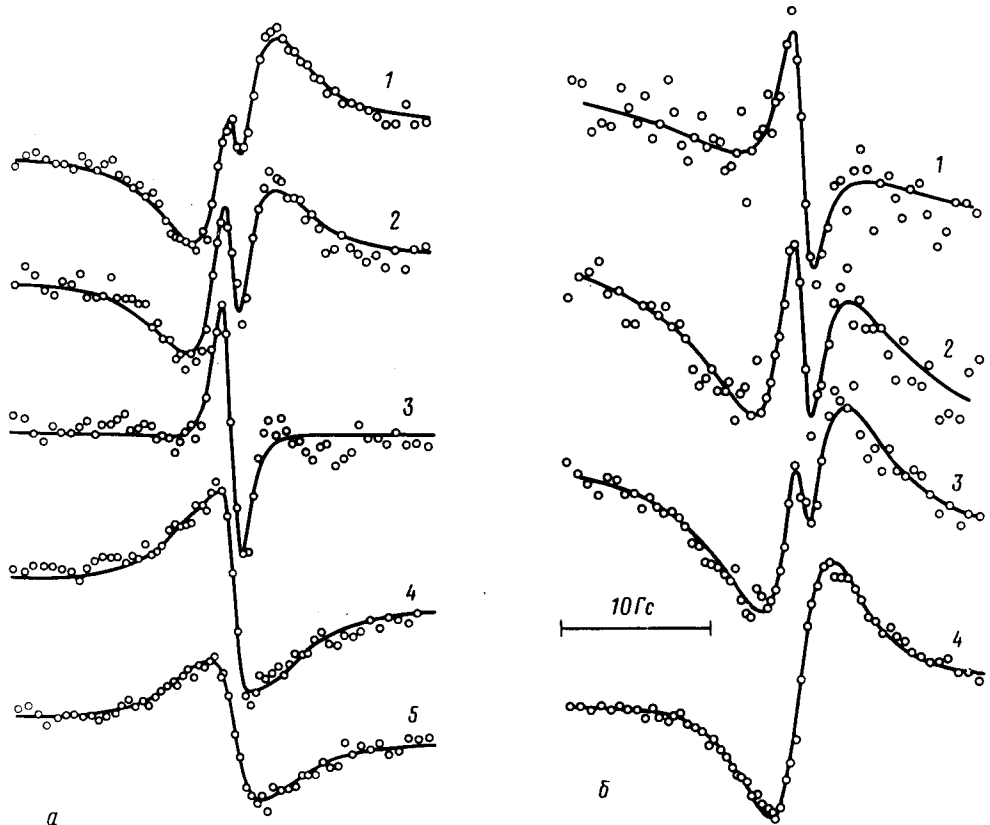


Рис. 1. Эволюция формы ОМР двулучепреломления (1а – 5а) и дихроизма (1б – 4ю) в неоне при перестройке частоты лазера из синей в красную область спектра

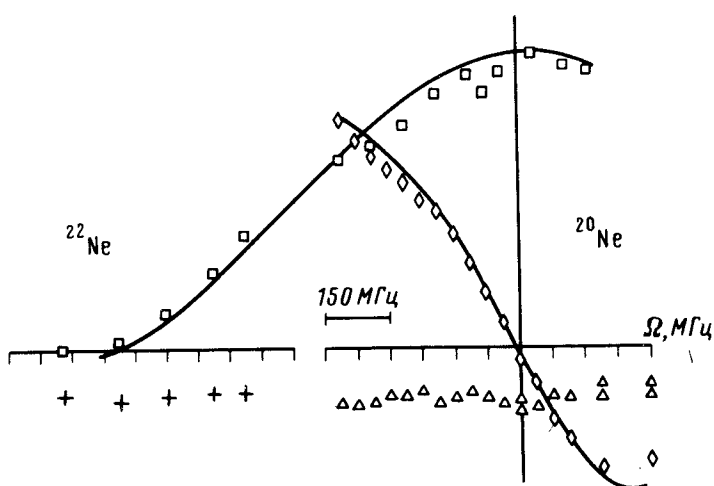


Рис. 2. Изменение амплитуд компонент ОМР при перестройке частоты лазера: "—" – широкая и "+" – узкая компоненты дихроизма, "◊" – широкая и "Δ" – узкая компоненты двулучепреломления

Данная методика не чувствительна к интегральному переносу заселенности с соседних уровней, поэтому можно предположить, что здесь мы имеем дело с переносом когерентности, записанным для некоторых условий в<sup>7</sup>. В нашем случае выражение (3.1<sup>2</sup>) из<sup>7</sup> распадается на сумму двух лорентзианов. Более широкий отвечает характеристикам  $2p_1$  уровня, а параметры узкого связаны с исходным уровнем. Различие ширин не может быть объяснено различием  $g$ -факторов уровней и узость ОМР следует связывать с малыми скоростями релаксации поляризационных моментов, т. е. с процессами на долгоживущих уровнях. В данном случае это могут быть уровни  $1s_5$  и  $2s_5$ , распад которых в основное состояние запрещен и которые связаны оптическими переходами с  $2p_1$ <sup>3)</sup>.

Аномальное поведение узких ОМР при перестройке частоты лазера может объясняться тем, что когерентность индуцируется на запрещенном переходе в основное состояние при поглощении УФ излучения более высокой мультипольности, чем электродипольное, в условиях анизотропного облучения (протяженный объем), или при недиабатических столкновениях с электронами, чье распределение по скоростям также анизотропно. При этом могут возбуждаться поляризационные моменты более высокого ранга, чем выстраивание, и с иной зависимостью амплитуд ОМР отстройки. В частности известно<sup>8</sup>, что на квадрупольных линиях в попечном магнитном поле наблюдаются зеемановские компоненты с  $\Delta M = \pm 2$ , запрещенные в дипольных переходах. Известно также, что недиабатические столкновения с электронами индуцируют запрещенные переходы (см., например, <sup>9</sup>).

Пересчет (1) в частотную шкалу (для  $\Delta M = 2$ ) с использованием  $g$ -фактора  $1s_5$ ,  $2s_5$  уровней (1,503) дает следующую зависимость

$$\Gamma = (1,99 \pm 0,15) \text{ МГц} + (1,05 \pm 0,13) \times P (\text{Top}) \text{ МГц}. \quad (4)$$

Если (1) – следствие разрушения гексадекапольного момента ( $\Delta M = 4$ ), то число в (4) надо удвоить. Уровень  $1s_5$  – метастабильный и его радиационная ширина много меньше, чем дает (4). Данные по  $2s_5$  (2,4 – 4,4 МГц, <sup>10</sup>) близки к (4) и его можно рассматривать в качестве исходного, причем не исключается возможность когерентности с  $\Delta M = 2$ , к чему склоняет и резкое отличие от (4) скорости релаксации выстраивания на уровне  $2s_5$  ( $6,1 \pm \pm 1,1$  МГц/Top, <sup>10</sup>).

Для прояснения вопроса необходимы дополнительные эксперименты, повышение их точности, а также теоретический анализ специфики индуцирования когерентности под действием электронным ударом и при квадрупольном излучении. Кроме оптического канала переноса когерентности, следует также рассмотреть переходы в результате неупругих столкновений с электронами, в которых, как известно<sup>11</sup>, несмотря на некоторое уширение, сохраняется неравновесность распределения по скоростям.

#### Литература

1. Им Тхек-де, Сапрыкин Э.Г., Шалагин А.М. Оптика и спектр., 1973, **35**, 202.
2. Родионов Г.Д., Сапрыкин Э.Г. Оптика и спектр., 1986, **30**, 701.
3. Каллас Х., Чайка М.П. Оптика и спектр. 1969, **27**, 694.
4. Carrington C.G., Corney A. Opt. commun., 1969, **1**, 115.
5. Николаев Г.Н., Раутсан С.Г., и др. Оптика и спектр., 1986, **60**, 244.
6. Сапрыкин Э.Г., Солдатов В.П. и др. Квант. электр., 1986, **13**, 2057.
7. Чайка М.П. Интерференция вырожденных состояний. ЛГУ, 1975.
8. Фриш С.Э. Оптические спектры атомов,. М. Л. 1963, с. 351.

<sup>3)</sup> Другие долгоживущие уровни ( $1s_3$  и  $2s_3$ ) невырождены и когерентность на них возникнуть не может в принципе.

9. Никитин Е.Е., Бурштейн А.И. Сб. "Газовые лазеры", Новосибирск, Наука, 1977, с. 7.  
10. Казанцев С.А., УФН, 1983, 139, 621.  
11. Атузов С.Н., Никитенко А.Г., и др. Письма в ЖЭТФ, 1971, 13, 232.

Институт автоматики и электрометрии  
Сибирского отделения Академии наук СССР

Новосибирский государственный университет  
им. Ленинского комсомола

Поступила в редакцию  
22 августа 1989 г.